

ترمو-بارومتری توده گرانودیوریتی مجموعه گرانیتوئیدی قروه (جنوب شرقی استان کردستان)

ashraf torkian¹ و زهرا طهماسبی²

۱- هیات علمی گروه زمین شناسی، دانشکده علوم پایه، دانشگاه بولعلی سینا، همدان

۲- هیات علمی گروه معدن، دانشکده فنی، دانشگاه لرستان، خرم‌آباد

* مسئول مکاتبات - نشانی الکترونیکی: a-torkian@basu.ac.ir

دریافت: ۸۸/۷/۴ پذیرش: ۸۸/۱۱/۱۱

چکیده

در جنوب قروه (کردستان) با تولیت گرانیتوئیدی تیپ I وجود دارد که شامل طیفی از واحدهای کوارتز دیوریت، گرانودیوریت و گرانیت است. داده‌های حاصل از ریزپردازش الکترونی بلورهای آمفیبیول در گرانودیوریت نشان می‌دهد که آمفیبیول‌ها با دارا بودن محتوی $\text{Mg} / (\text{Mg} + \text{Fe}^{+2}) < 0.3$ و $(\text{Na} + \text{K})_{\text{A}} < 6/5$ (در واحد فرمولی) در گروه منزیبیو-هورنبلندها هستند. کم بودن مقادیر $\text{Al}_2\text{O}_3^{\text{total}} > 1/3$ و نیز فراوانی کم اکسید تیتانیوم ($\text{wt}\% = 0.97 - 1.87$) و مقدار تیتان در فرمول ساختمانی این کانی (کمتر از ۱) بر حاکمیت فشار کم دلالت دارد. به علاوه، بر اساس مقدار Al موجود در ساختار هورنبلندهای این واحد سنگی در فشار ۱/۷ تا ۲/۱ کیلوبار متغیر شده باشد. نمودارهای نسبت Al به Ti و Al کل به Ps نیز مؤید تبلور ماقما در فشارهای مختلف طی صعود آن در پوسته می‌باشد. بیشینه دمای حاصل از ترمومتر "هورنبلند-پلاژیوکلاز" گرانودیوریت در فشار مذکور بین ۶۸۱ تا ۶۹۷ درجه سانتی‌گراد است که این دما بیانگر دمای زمان جایگزینی توده می‌باشد. داده‌های ترمومتری بر پایه زوج "بیوتیت-گارنت" به تعادل رسیدن هورنفلس مجاور آن را در فاصله دمایی بین ۴۳۸ تا ۵۳۷ درجه سانتی‌گراد نشان می‌دهد.

واژه‌های کلیدی: گرانودیوریت، ژئوبارومتری، ژئوبالومتری، قروه، کردستان

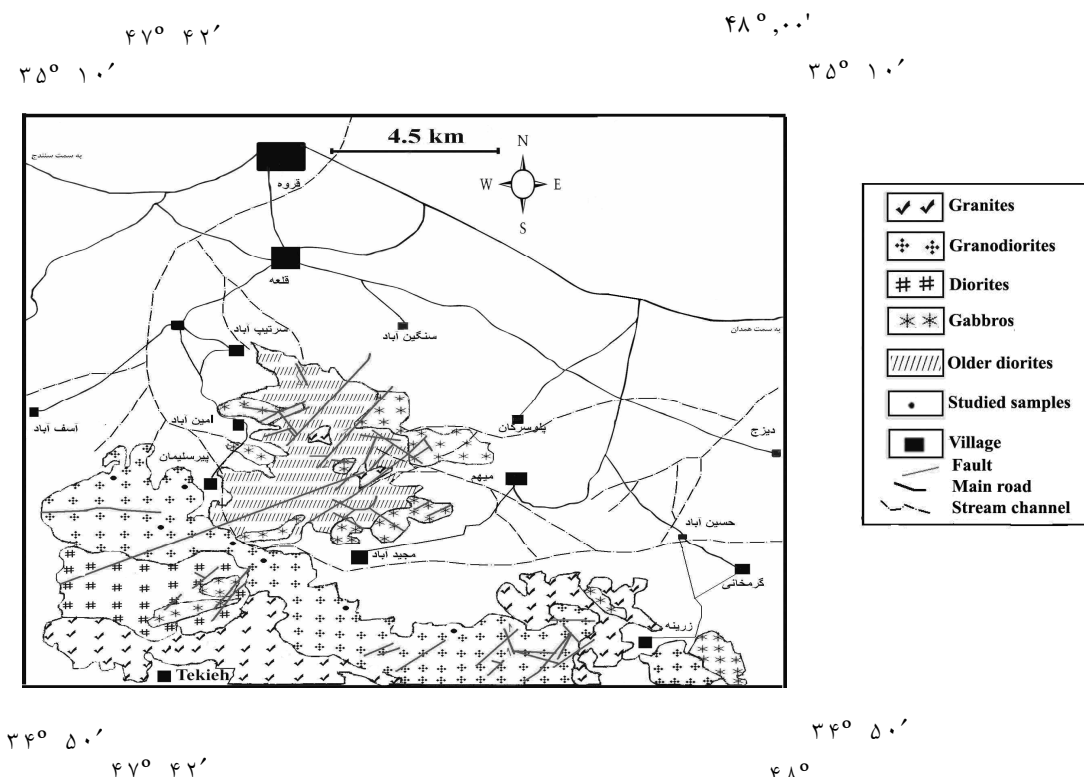
کانی‌ها (شمیمی بلور) و تغییراتی که در مقیاس بسیار ریز میکرونی در آنها صورت می‌گیرد در خصوص تعیین ویژگی‌های دمایی و فشاری جایگزینی ماقماها اطلاعاتی در اختیار قرار می‌دهند.

در این مقاله هدف این است که با استفاده از داده‌های تجزیه ریزپردازش الکترونی کانی‌های آمفیبیول، پلاژیوکلاز، گارنت و بیوتیت، ضمن تعیین دقیق ترکیب این کانی‌ها، ژئوترموتری، ژئوبالومتری توده گرانودیوریتی مورد مطالعه را در زمان تشکیل مشخص نماید. کانی‌های فوق با استفاده از دستگاه تجزیه ریزپردازنده الکترونی مدل CAMECA SX50 در دانشگاه اکلاهما (امریکا) برای شناسائی عناصر FeO^{total}, Al₂O₃, TiO₂, SiO₂, F, K₂O, Na₂O, BaO, SrO, CaO, MnO, MgO و Cl مورد تجزیه قرار گرفتند. این کار با ولتاژ شتاب-دهنده ۲۰ KV، باریکه جریان ۲۰ nA و با قطر باریکه‌ای برابر ۲ μm صورت پذیرفته است. نتایج داده‌ها برای تمامی عناصر با کانی‌های استاندارد شناخته شده طبیعی، هم‌سنجدی (کالیبره) شده و تنها برای عنصر Ba از شیشه مصنوعی استفاده گردیده است.

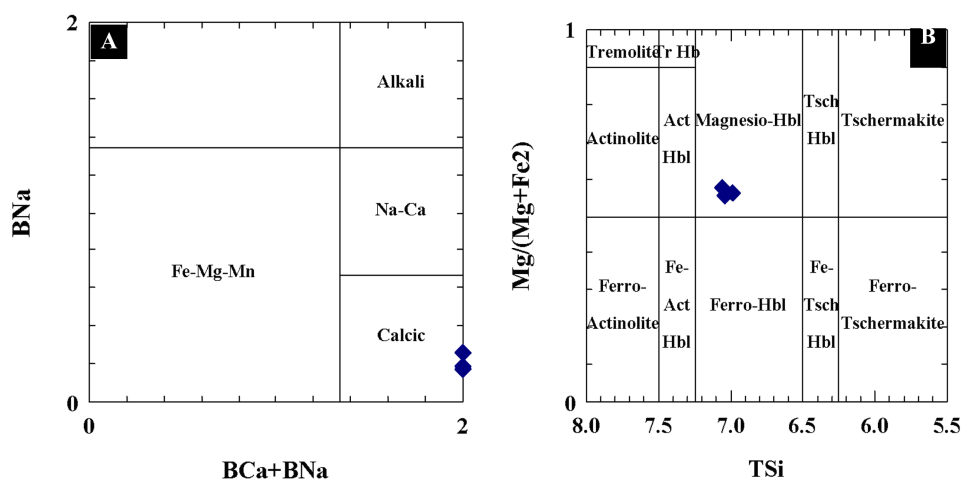
مقدمه

در جنوب قروه (کردستان) در ۸۰ کیلومتری شمال غرب همدان مجموعه نفوذی گرانیتوئیدی به سن ائوسن-اولیگوسن [۴]، به مختصات جغرافیائی ۴۲° تا ۴۸° طول شرقی و ۳۴° تا ۳۵° عرض شمالی وجود دارد که شامل طیفی از واحدهای سنگی گرانودیوریتی، کوارتز-دیوریتی، دیوریتی و گرانیتی است. حدود و مرزهای سنگ‌شناسی این مقاله بر پایه‌ی داده‌های منبع [۵] می‌باشد (شکل ۱). براساس داده‌های صحرائی، پتروگرافی و ژئوشیمیایی توده‌های فلزیک این مجموعه از جمله گرانودیوریتها با توده‌های مافیکتر دارای منشا متفاوتی هستند [۳].

کانی‌هایی چون پلاژیوکلاز، آمفیبیول، گارنت و بیوتیت از جمله کانی‌های کلیدی و بسیار ارزشمند جهت مطالعات پترولوزیست‌ها به ویژه از دیدگاه ژئوبارومتری در توده‌های نفوذی به شمار می‌روند. امروزه با پیشرفت تکنولوژی آنالیز کانی‌ها، امکان دستیابی دقیق به تمرکز عناصر و بررسی تغییرات آنها وجود دارد. ترکیب شیمیائی



شکل ۱- نقشه زمین شناسی منطقه مورد مطالعه که در آن واحدهای مختلف لیتولوژی ارائه گردیده است (براساس منبع [۵] با کمی تغییرات)



شکل ۲- (A) آمفیبول های گرانودیوریت ها در قلمرو آمفیبول های کلسیک فرار می گیرند. (B) نمودار نسبت محتوی Si به کل $Mg/(Mg + Fe^2)$ در محدوده منیزیبو هورنبلندها واقع شده است. تصویر نمونه های آمفیبول در این نمودار

بیوتیت، کوارتز است. زیرکن، آلانیت، آپاتیت، اسفن و مگنتیت کانی های اصلی را همراهی می کنند. پلازیوکلازها متوسط تا درشت دانه و برخی به صورت بلورهای درشت تیغه ای ظاهر شده اند. اکثر بلورها خود شکل تا نیمه شکل-

سنگ شناسی توده گرانودیوریتی گرانودیوریت مورد مطالعه متوسط تا درشت دانه و بافت آن عمدتاً گرانولار تا پورفیروئیدی است. ترکیب کانی شناسی مشکل از پلازیوکلاز، فلدسپار پتاسیم، آمفیبول،

[۴] و تعیین مقدار Fe^{+3} از روش های معرفی شده توسط [۶] و [۱۸] می باشد. بر مبنای فرمول ساختمانی کلی $\text{Ca}_2[\text{Mg}, \text{Fe}]_4(\text{Al}, \text{Fe}^{+3})_{18}[\text{Si}_7\text{AlO}_{22}]$. آمفیبیول های مورد نظر از متغیرهای زیر برخوردار می باشند (جدول ۱):
 $\text{Mg}/(\text{Mg}) > \text{Na}(\text{M}_4), \text{Ca}(\text{M}_4) = \text{Na}(\text{M}_4) > ۰.۰۶۷ > \text{Na}(\text{M}_4)$
 $\text{Fe}^{+2} + \text{TSi} < ۰.۰۵ < \text{Na}(\text{K})_{\text{A}}$ و $\text{Fe}^{+2} + \text{TSi} < ۰.۰۳ < \text{Na}(\text{K})_{\text{A}}$ (در واحد فرمولی). این مشخصات خاص منیزیو هورنبلندهای کلسیک منوکلینیک است (شکل ۲) که با ویژگی های محتوی متغیرهای فرمولی ارائه شده توسط مجمع بین المللی کانی شناسی (IMA) [۴] نیز مطابقت نشان می دهد. کم بودن مقادیر $\text{Al}_{\text{total}} > ۱/۳$ و $\text{Al}_2\text{O}_3 < ۰.۳$ درصد و نیز فراوانی کم TiO_2 (۰.۹۷-۰.۸۷ wt%) و تیتان کمتر از ۱ در فرمول ساختمانی به ترتیب بر حاکمیت فشار کم و بالا بودن مقدار فوگاسیته اکسیژن توده گرانودیوریتی دلالت دارند [۵ و ۸]. به علاوه محتوی آهن و منیزیم در کانی فوق نسبتاً بالاست به ویژه منیزیم که بین ۱۰/۲۱ تا ۱۰/۲۶ متغیر است و در همین حال نسبت اکسیدهای این دو عنصر نشان می دهد که فراتر از ۰/۵۳ نمی باشند. [۱۱] چنین ویژگی را در هورنبلندها به ترکیب فلزیک مذاب والد آنها نسبت داده است. از طرفی پیش از این نیز [۹] مقادیر کم $\text{Mg}/(\text{Mg} + \text{Fe}^{+2})$ را ناشی از تبلور کانی در شرایط فشار کم و فوگاسیته اکسیژن زیاد تلقی کرده بودند. بنابراین هورنبلندهای این توده (جدا اول ۲ و ۳) با دارا بودن $\text{Mg}/(\text{Mg} + \text{Fe}^{+2})$ بیش از ۰.۷۱. برای هورنبلند و ژئوترمومتری به روش "محتوی Al در هورنبلند" و ژئوترمومتری بر اساس "زوج کانی های هورنبلند-پلازیوکلاز" مناسب می باشند.

۲- شیمی پلازیوکلاز

پلازیوکلاز های این واحد سنگی در حدود ۳۰ تا ۳۸ درصد سنگ را تشکیل می دهند. بررسی ترکیب پلازیوکلاز های توده گرانودیوریتی نشان می دهد که در برخی پلازیوکلاز ها منطقه بندی نوسانی مشاهده می شود [۱]. مقدار آنورتیت در هسته این نوع پلازیوکلاز ها از ۲۵ تا ۴۵ درصد متغیر

دار و ساخت منطقه ای یکی دیگر از ویژگی های این کانی است.

فلدسپار پتاسیم به دو صورت بلورهای نسبتاً درشت و بلورهای ریز زمینه، در این سنگ وجود دارند. اندازه آنها بین $۰/۳$ تا ۳ میلی متر در نوسان است. این کانی به صورت ارتوکلاز دارای ماکل کارلسپاد، ارتوکلاز پرتیتی، میکروکلین هایی با ماکل تارتون ظاهر شده است. میرمکیت نیز به مقدار کم در محل تماس آنها با پلازیوکلاز ها تشکیل شده است. کوارتز بی شکل و در اندازه های متوسط تا ریز بلور متباور شده و گاهی با خاموشی موجی مشاهده می شود. این کانی با فراوانی مودال بین ۱۳ تا ۳۰ درصد در این واحد سنگی یافت می شود.

مهمترین کانی فرعی و فرومیزین گرانودیوریت مورد مطالعه، هورنبلند است که فراوانی آن به میزان ۲۲-۱۰ درصد در نوسان می باشد. این کانی سهم عمده ای در بین کانی های تشکیل دهنده این واحد دارد. هورنبلندها دارای رنگ سبز تا سبز- قهوه ای، در اندازه های متوسط تا درشت بلور و به صورت خود شکل تا نیمه شکل دار متباور گردیده اند. گاهی ماکل کارلسپاد در آنها به خوبی مشهود است. بیوتیت اولیه در این واحد سنگی به میزان کمتر از ۵ درصد وجود دارد ولی بیوتیت هایی نیز از دگرسانی آمفیبیول ها بوجود آمده اند که مقدار آنها بسیار کم است. همچنین اسفن به عنوان یک کانی اولیه در سنگ های گرانودیوریتی مشاهده شده است. توده گرانودیوریتی مورد مطالعه با $\text{Al}_2\text{O}_3 = ۱۲/۸۱\%$ ، $\text{CaO} = ۱۶/۳۶\%$ ، $\text{K}_2\text{O} = ۰/۹۴\%$ ، $\text{NaO}_2 = ۰/۲۴\%$ ، $\text{FeO} = ۰/۵۰\%$ ، $\text{MnO} = ۰/۰۵\%$ از نظر درجه اشباعی از آلومینا در رده متألومین های فلزیک قرار می گیرد. ترکیب کانی شناسی گرانودیوریت مورد مطالعه و نیز داده های ژئوشیمیائی حاکی از دارا بودن اختصاصات گرانیت ویده های تیپ I می باشد [۱].

بررسی شیمی کانی ها

۱- شیمی آمفیبیول

مبنا محاسبات تعیین فرمول ساختمانی این کانی، محاسبه ترکیب آن بر مبنای ۱۳ کاتیون (eCNK) (13

جدول ۱- نتایج داده های تجزیه ریزپردازش الکترونی (بر حسب درصد وزنی) آمفیبول های منتخب از واحد گرانودیوریتی و فراوانی متغیرهای فرمولی (بر حسب اتم در واحد فرمولی apfu) آنها

شماره نمونه	MMI-11	MAJ.12	MAJ.2	MAJB.2
SiO ₂	۴۶/۹۱	۴۷/۳۵	۴۷/۲۰	۴۷/۰۳
TiO ₂	۰/۸۸	۰/۸۷	۰/۹۷	۰/۹۴
Al ₂ O ₃	۶/۰۸	۵/۵۲	۵/۹۸	۶/۰۴
FeO ^{total}	۱۹/۵۴	۲۰/۲۴	۲۰/۴۲	۱۹/۴۷
MgO	۱۰/۲۵	۱۰/۲۱	۱۰/۲۴	۱۰/۲۶
MnO	۰/۵۵	۰/۶۵	۰/۶۵	۰/۵۳
CaO	۱۱/۳۰	۱۰/۸۸	۱۱/۴۳	۱۱/۳۹
SrO	۰/۰۲	۰/۰۵	۰/۰۴	۰/۰۴
BaO	۰	۰	۰/۰۲	۰/۰۱
Na ₂ O	۰/۹۳	۰/۹۷	۰/۹۵	۰/۹۲
K ₂ O	۰/۹۱	۰/۸۷	۰/۸۰	۰/۸۲
F	۰/۲۴	۰/۴۲	۰/۲۴	۰/۳۰
Cl	۰/۱۳	۰/۱۱	۰/۱۵	۰/۱۴
MgO/FeO	۰/۵۲	۰/۵۰	۰/۵۰	۰/۵۲
Fe/(Fe+Mg)	۰/۶۷	۰/۶۷	۰/۶۶	۰/۶۵
O	(OH,F,Cl)۲۲+۲	(OH,F,Cl)۲۲+۲	(OH,F,Cl)۲۲+۲	(OH,F,Cl)۲۲+۲
Si	۷/۰۲	۷/۰۶	۶/۹۸	۷/۰۴
CTi	۰/۹۹	۰/۹۸	۰/۱۱	۰/۱۱
Al ^{total}	۱/۹۴	۰/۹۷	۱/۰۴	۱/۰۶
Al ^{IV}	۰/۹۸	۰/۹۴	۱/۰۲	۰/۹۷
Al ^{VI}	۰/۹۶	۰/۰۳	۰/۰۳	۰/۱۰
CMg	۲/۲۹	۲/۲۷	۲/۲۶	۲/۲۹
BCa	۱/۸۱	۱/۷۴	۱/۸۱	۱/۸۲
CMn	۰/۰۷	۰/۰۸	۰/۰۸	۰/۰۷
Na _(A+B)	۰/۲۷	۰/۲۸	۰/۲۷	۰/۲۷
AK	۰/۱۲	۰/۱۱	۰/۱۱	۰/۱۲
Fe ^{total} (Fe ⁺³ +CFe ⁺²)	۱/۵۹	۱/۵۰	۱/۵۲	۱/۴۱
CFe ⁺³	۰/۶۷	۰/۸۶	۰/۷۷	۰/۶۱
CFe ⁺²	۰/۹۲	۰/۷۵	۰/۷۵	۰/۸۰
CCa(M ³)	۰	۰	۰	۰
BFe(M ⁴)	۰	۰	۰	۰
BCa(M ⁴)	۱/۸۱	۱/۷۴	۱/۸۱	۱/۸۲
BNa(M ⁴)	۰/۱۹	۰/۲۷	۰/۱۹	۰/۱۸
Na(A)	۰/۰۹	۰/۰۲	۰/۰۸	۰/۰۹
K(A)	۰/۱۲	۰/۱۱	۰/۱۱	۰/۱۲
Mg/(Mg + Fe ⁺²)	۰/۷۱	۰/۷۵	۰/۷۵	۰/۷۵
Fe ⁺³ /Fe ^{total}	۰/۴۲	۰/۵۳	۰/۵۰	۰/۴۲

۲- ژئوترمومتری بر پایه روش زوج هورنبلند-پلازیوکلاز

همان‌گونه که یادآوری شد پلازیوکلازها و هورنبلندهایی که در مجاور یکدیگر قرار داشته باشند و بین آنها تعادل برقرار باشد برای ترمومتری مفید هستند. استفاده از این زوج کانی‌ها در سنگ‌های آذرین با حضور و بدون حضور کوارتز امکان پذیر است. محاسبه دما در فرمولی که توسط [۶] ارائه شده نشان می‌دهد (جدول ۴) که دمای توده گرانودیوریتی مورد مطالعه ۶۸۱ تا ۶۹۷ درجه سانتی‌گراد بوده است. این دما بیانگر دمای حدود زمان جایگیری و سرد شدن واحد گرانودیوریتی در مجموعه گرانیتوئیدی قروه است.

ژئوترمومتری به روش زوج کانی‌های بیوتیت-گارنت
دمای تشکیل توده‌های نفوذی ارتباط نزدیکی با دمای به تعادل رسیدن زوج کانی‌های بیوتیت-گارنت در هورنفلس-های پیرامون آنها دارد. به این منظور یک هورنفلس از مجاور توده (مین آباد) با بافت گرانوبلاستیک و ترکیب کانی‌شناسی کوارتز، فلدوپارهای پتاسیم و پلازیوکلاز، بیوتیت، گارنت نیز تجزیه و مورد بررسی قرار گرفت. دو گارنت و دو بیوتیت همزیست در این هورنفلس انتخاب و مورد تجزیه نقطه‌ای (الکترون میکروپریوب) قرار گرفت. محاسبات ترمومتری گارنت-بیوتیت در سنگ‌های دگرگونی مجاورتی (به روش [۱۸]) (جدول ۵) نشان می‌دهند دما به طور متوسط بین ۴۳۸ تا ۵۳۷ درجه سانتی-گراد در تغییر بوده که بیانگر دمایی است که دو کانی (بیوتیت-گارنت) در این هورنفلس‌ها به تعادل رسیده‌اند. بی‌تردید دمای توده‌های نفوذی، سیالات همزمان و پس از نفوذ مجموعه پلوتونیک قروه نیز بر این تعادل موثر بوده است.

عمق جایگزینی توده گرانودیوریتی جنوب قروه
بارومتری براساس محتوی Al در هورنبلند به طور گسترهای نیز در تخمین عمق جایگزینی سنگ‌های پلوتونیک فلزیک مورد استفاده قرار گرفته است (برای مثال به [۱۹-۲۰] مراجعه نمائید). مجموعه کانی‌های همراه با هورنبلند، در کنار مذاب و فاز سیال، بنا به آنچه [۶] توصیف کرد، در دمایی نزدیک به دمای سولیدوس به

می‌باشد. منطقه‌بندی نوسانی نشان‌دهنده تغییرات ناگهانی در مقدار An٪ می‌باشد که بر ایجاد تغییر در شرایط ترمودینامیکی تبلور و یا اختلاط ماقمایی نسبت داده می‌شود. در مجموع دامنه تغییرات ترکیب شیمیایی کلی پلازیوکلازها از An_{۴۳} تا An_{۶۶} متغیر است [۱]. به منظور ژئوترمومتری توده گرانودیوریتی مورد مطالعه به روش "زوج کانی‌های هورنبلند-پلازیوکلاز" ترکیب پلازیوکلازهای مجاور با هورنبلندها نیز بررسی شده‌اند.

ژئوبارومتری توده گرانودیوریتی

۱- بر پایه روش "محتوی Al در هورنبلند"

استفاده از این روش که از متداول ترین روش‌های ژئوبارومتری در سنگ‌های آذرین و بهویژه در مجموعه‌های نفوذی کالک آلکالن می‌باشد مستلزم حضور مجموعه‌ای از کانی‌های کوارتز، پلازیوکلاز، فلدوپار پتاسیم، بیوتیت، اسفن و اکسید آهن-تیتان در کنار هورنبلند است. با توجه به مشاهدات پتروگرافی علاوه بر همیافتی (باراژن) کانی‌های هفتگانه در این سنگ‌ها، بایستی به برخورداری آنها از حالت تعادل نسبی بین پلازیوکلاز و هورنبلند نیز اشاره نمود که مورد اخیر در استفاده از این زوج، برای ژئوترمومتری، با اهمیت می‌باشد. در جدول (۴) نتایج بارومتری توده گرانودیوریتی مورد مطالعه با استفاده از معادلات مربوطه ارائه شده است. همان‌گونه که مشاهده می‌شود حداکثر فشار به روش محتوی Al کل در هورنبلند در این توده ۲/۱ کیلوبار و حداقل آن برابر ۱/۷ کیلوبار است.

نمودار نسبت Ti به Al کل [۱۳] نیز تغییرات مابین ۱ تا ۳ کیلوبار را نشان می‌دهد. این دامنه از تغییرات فشار از ترکیب شیمیایی ساختمان هورنبلند نیز مورد انتظار بود. این فشار بیانگر عمق جایگزینی گرانودیوریت است. نامبرگان معتقدند وجود دامنه‌ای از فشارهای مذکور بر تبلور ماقما، در فشارهای مختلف، طی صعود از میان پوسته دلالت دارد. از طرفی تصویر مقادیر Al کل (در واحد فرمولی) در مقابل PS، روند افزایشی و مشبتش را نشان می‌دهد. PS عبارت از فشار مستقل از دما براساس بارومتر اشمیت [۶] که از فرمول زیر قابل محاسبه است:

$$PS = -3.01 + 4.76Al^{\text{total}} \quad (\pm 0.6)$$

جدول ۲ - نتایج داده های تجزیه ریزپردازش الکترونی (بر حسب درصد وزنی) هورنبلندها و پلازیوکلازهای مجاور آنها در گرانودیوریت

شماره نمونه	MAJ.2: 10-5Hbl-1	MAJ.12: 10-2Hbl-1	MMI.11: 105Hbl-4
SiO ₂	۴۶/۸۷	۴۶/۹۱	۴۷/۳۸
TiO ₂	۰/۵۳	۰/۸۸	۰/۳۷
Al ₂ O ₃	۵/۵۳	۶/۰۸	۵/۵۱
FeO ^{total}	۲۲/۲۶	۱۹/۵۴	۲۱/۷۸
MgO	۸/۸	۱۰/۲۵	۹/۲۳
MnO	۰/۵۵	۰/۵۵	۰/۵۳
CaO	۱۱/۰۹	۱۱/۳۰	۱۱/۳۶
SrO	۰	۰/۰۲	۰
BaO	۰/۰۲	۰	۰
Na ₂ O	۰/۸۶	۰/۹۳	۰/۸۶
K ₂ O	۰/۴۷	۰/۶۱	۰/۴۳
F	۰/۲۳	۰/۲۴	۰/۵۸
Cl	۰/۱۱	۰/۱۳	۰/۱
O=F	-۰/۱۴	-۰/۰۱	-۰/۲۵
O=Cl	-۰/۰۳	-۰/۰۳	-۰/۱۴
Total	۹۷/۲۶	۹۷/۳۲	۹۸/۲۶

جدول ۳- فراوانی متغیرهای فرمولی هورنبلند و پلازیوکلازهای ارائه شده در جدول ۲

شماره نمونه	MAJ.2: 10-5Hbl-1	MAJ.12: 10-2Hbl-1	MMI.11: 10-5Hbl-4
O	۲۳	۲۳	۲۳
Si	۷/۰۹	۷/۰۲	۷/۱۲
Al ^{IV}	۰/۹۱	۰/۹۸	۰/۸۹
Al ^{VI}	۰/۰۷	۰/۱۰	۰/۰۹
Fe(iii)	۰/۷۹	۰/۶۷	۰/۷۲
Ti	۰/۰۶	۰/۱۰	۰/۰۴
Fe(ii)	۲/۰۳	۱/۷۸	۲/۰۱
Mn	۰/۰۷	۰/۰۷	۰/۰۷
Mg	۱/۹۹	۲/۲۹	۲/۰۷
Ca	۱/۸۰	۱/۸۱	۱/۸۳
Na	۰/۲۵	۰/۱۹	۰/۳
K	۰/۰۹	۰/۱۲	۰/۰۹
Total	۱۵/۱۴	۱۵/۲۰	۱۵/۱۶
Fe(iii)/FeO ^{total}	۰/۲۸	۰/۲۷	۰/۲۶
Fe ^{total} /(Fe ^{total} +Mg)	۰/۵۹	۰/۴۳	۰/۵۷
Al ^{total}	۰/۹۹	۱/۰۷	۰/۹۸
An%	۰/۶۷	۰/۷۰	-
Ab%	۰/۳۳	۰/۳۰	-

جدول ۴ - نتایج ترمومتری گرانودیبوریت در نمونه های ارائه شده در جدول ۳

شماره نمونه	MAJ.2: 10-5Hbl-1	MAJ.12: 10-2Hbl-1	MMI.11: 10-5Hbl-4
[P (Kbars): [10]	۱/۰۴	۱/۴۸	۰/۹۹
[P (Kbars): [12]	۰/۸	۱/۳	۰/۷۴
[P (Kbars): [13]	۰/۷۱	۱/۱	۰/۶۷
[Ps (Kbars): [6]	۱/۷	۲/۱	۱/۶۳
P (Kbars): [4]([11])	۱/۵۵	۱/۹۵	-
[P (Kbars): [6]	۱/۵۴	۱/۹۳	-
[P(Kbars): [11]	۱/۶۶	۲/۰۳	-
P(Kbars): [11]([6])	۱/۶۷	۲/۰۴	-
[T°C: [11]	۶۹۷	۶۹۷/۴	-
[T°C: [6	۶۸۱/۳	۶۸۶/۲	-

جدول ۵ - نتایج داده های ترمومتری به روش [۱۸] زوج بیوتیت-گارنت در فشار ۲/۱ کیلوبار

شماره نمونه	12/HO-20: Bt-Grt-1	12/HO-20: Bt-Grt-2
فشار(کیلوبار)	۲/۱	۲/۱
B92-HW	۵۱۵	۵۱۰
B92-GS	۵۲۳	۵۲۷
Dasg91	۴۲۲	۴۲۱
FS78	۴۲۸	۴۲۷
HS82	۴۵۰	۴۴۱
PL83	۴۹۸	۴۹۲
HL77	۴۷۶	۴۶۹
T76	۴۷۴	۴۶۶
متوجه دما	۴۷۸	۴۷۲

صورت ترکیب هورنبلند عملاً عمقی را منعکس خواهد کرد که در آن عمق، ماغما منجمد و جایگزین شده است. بنابر نتایج داده های بارومتری فوق، گرانودیبوریت مجموعه

تعادل می رساند. متعاقب انجامداد و سرد شدن ماغما، سیر دستیابی به وضع تعادل با کانی های بالا کند و بطئی گردیده و سپس به طور کامل متوقف خواهد شد. در این

منابع:

- [۱] حسینی، م.. (۱۳۷۶)، نقشه زمین شناسی ۱:۱۰۰۰۰۰ چهار گوش قروه، سازمان زمین شناسی و اکتشافاتمعدنی کشور. [۲] ترکیان، ا.. (۱۳۸۷)، بررسی ماقمایسیم توده گرانودیوریتی منطقه قروه (کردستان)، پایان نامه دوره دکتری، دانشگاه اصفهان.
- [۳] Ague, J.J. & Brandon, M.T., 1996, Regional tilt of the Mount Stuart batholith, Washington, determined using aluminum-in-hornblende barometry: implications for northward translation of Baja British Columbia, *Geol. Soc. Am. Bull.*, 108, 471-488.
- [۴] Anderson, J. L. & Smith, D. R. 1995, The effect of temperature and oxygen fugacity on Al-in hornblende barometry. *Am. Mineral.* 80, 549-59.
- [۵] Bellon, H. & Braud, J., 1975, Donnes nouvelles sur le domaine métamorphique du Zagros (zone de Sanandaj- Sirjan) au niveau de Kermanshah- Hamadan (Iran), Nature, age et interprétation des séries métamorphiques et des intrusions, evolution structural, *Fac, Sci. d Orsay*, Paris. 14.
- [۶] Blundy, J.D. & Holland, T.J.B., 1990, Calcic amphibole equilibria and a new amphibole-plagioclase geothermometer, *Contrib. Mineral. Petrol.* 104, 208-224.
- [۷] Dasgupta, S., Sengupta, P., Guha, D. & Fukuoka, M., 1991, A refined garnet-biotite Fe-Mg exchange thermometer and its application in amphibolites and granulites, *Contrib. Mineral. Petrol.* 190, 130-137.
- [۸] Droop, G.T.R, 1987, A general equation for estimating Fe+3 concentrations in ferromagnesian silicates and from microprobe analyses, using stoichiometric criteria, *Mineralogical Mag.* 51, 431-435.
- [۹] Gribble, C.D., 1988, Rutlye's of mineralogy, 27th editions, Unwin Hyman, London.
- [۱۰] Hammarstrom, J.M. & Zen, E-an., 1986, Aluminum in hornblende, an empirical igneous geo-barometer, *Am. Mineral.* 71, 1297-1313.
- [۱۱] Holland, T. & Blundy, J., 1994. Non-ideal interactions in calcic amphiboles and their bearing on amphibole & plagioclase thermometry. *Contrib. Mineral. Petrol.* 116: 433-447.
- [۱۲] Hollister, L.S., Grisson, G.C., Peters, E.K., Stowell, H.H. & Sisson, V.B., 1987, Confirmation of the empirical correlation of Al in hornblende with pressure of solidification of calc-alkaline plutons, *Am. Mineral.* 72, 213-239.
- [۱۳] Johnson, M. C. & Rutherford, M. J. 1989, Experimental calibration of an Al-in hornblende geobarometer with application to

پلوتونیک قروه در عمقی معادل با گرانیتوئیدهای کم عمق جایگزین شده است. عدم وجود دایکهای شعاعی [۱۹]، تیز و مشخص بودن مرزهای تماس مجموعه مورد مطالعه با سنگهای دربرگیرنده [۱۹] و نیز دادههای بارومتری همگی شواهدی بر این مطلب هستند که عمق تبلور و جایگزینی توده گرانودیوریتی این مجموعه بیش از ۷ کیلومتر نبوده است.

نتیجه‌گیری

مجموعه نفوذی گرانیتوئیدی جنوب قروه(کردستان) که توده گرانودیوریتی مورد مطالعه جزئی از آن می‌باشد در اوسن - اولیگوسن در پهنه سندج- سیرجان نفوذ کرده است. ترکیب کانی‌شناسی و دادههای ژئوشیمیائی حاکی از برخورداری گرانودیوریت از اختصاصات گرانیتوئیدهای تیپ I و در رده متالومینهای فلسیک قرار می‌گیرد. نتایج دادههای ریزپردازش الکترونی آمفیبول و پلازیوکلаз نشان می‌دهد که آمفیبولها با دارا بودن محتوی $Mg / (Mg + Fe^{+2}) < 0.5 / 0.5$ و $(Na+K)_A < 7.5 / 5$ (در واحد فرمولی) در قلمرو گروه هورنبلندها هستند. "برمبانی روشن" بارومتری بر پایه محتوی Al های توده گرانودیوریتی کم بودن مقادیر Al_2O_3 و $Al_{total} > 8.7\text{ wt\%}$ و نیز فراوانی کم اکسید تیتانیوم (TiO_2) و مقدار تیتان در فرمول ساختمانی این کانی (کمتر از ۱٪) حاکی از فشار کم توده در زمان جایگزیری دارد. دادههای بارومتری توده مورد بررسی بر تبلور هورنبلندهای این واحد در حداقل فشار 2.1 kbar و حداقل فشار 1.7 kbar دلالت دارد. نمودارهای نسبت Al / Ti کل به Al کل به Ps هر دو نیز تبلور پلیباریک ماگما در طی صعود آن را تأیید می‌نمایند. دادههای ترمومتری بر پایه روشن-های زوج کانی‌های "هورنبلن- پلازیوکلاز" نشان می‌دهند که توده گرانودیوریتی مورد مطالعه در فشار مذکور از دمایی بین 697 تا 681 درجه سانتی‌گراد برخوردار بوده و این دما بیانگر دمای زمان جایگزینی توده می‌باشد. دمای به تعادل رسیدن زوج "بیوتیت- گارنت" در هورنفلس مجاور آن از 438 تا 537 درجه سانتی‌گراد در تغییر بوده است.

- Long Valley caldera (California) volcanic rocks. GEOL 17, 837-841.
- [14] Leake, B.E , Woolley, A.R., Birch, W.D., Burke E.A.J., Feraris G., Grice J.D., Hawthorne, F.C., Kisch, H.J., Krivovichev, V.G., Schumacher, J.C., Stephenson, N.C.N., Whittaker, E.J.W., 2004, Nomenclature of amphiboles, Additions and revisions to the International Mineralogical Association's amphibole nomenclature, Am. Mineral, 89, 883-887.
- [15] Leake, B.E .et. al., 1997, Nomenclature of amphiboles, Report of Subcommittee on Amphiboles of the International Mineralogical Association Commission on New Minerals and Mineral Names. Euro. J. Mineral. , 35, 623-651.
- [16] Le Maitre, R.W., 1976, The chemical variability of some common igneous rocks, J. Petrol., 17, 589-638.
- [17] Schmidt, M.W., 1992. Amphibole composition in tonalite as a function of pressure: an experimental calibration of the Al-in – hornblende barometer. Contrib. Mineral. Petrol. 110: 304-310.
- [18] Spear F, S., 1995, Metamorphic phase equilibria and P-T-t paths, Mineralogical Soci. Am. 799p.
- [19] Sylvester, A.G., 1964, The Precambrian rocks of the telemark area, in south central Norway; geology of the Vardal granite, Norsk geologisk tidsskrift 44, 445-482.
- [20] Torkian, A., Khalili, M. & Sepahi, A.A. 2008, Petrology and geochemistry of the I-type calc-alkaline Qorveh Granitoid Complex, Sanandaj-Sirjan Zone, western Iran. N. Jb. Miner. Abh., Vol. 185/2, p. 131-142.
- [21] Vyhenal, C.R., McSween, H.Y. & Speer, J.A., 1991, Hornblende chemistry in southern Appalachian granitoids: implications for aluminum hornblende thermobarometry and magmatic epidote stability, Am. Mineral. 76, 176-188

